

# Обнаружение сигналов магнитного резонанса с аномальной дисперсией и двух типов изолированных центров марганца в кристалле халькопирита $(\text{Zn}, \text{Mn})\text{GeP}_2$

П. Г. Баранов, С. И. Голощапов<sup>1)</sup>, Г. А. Медведкин, В. Г. Воеводин\*

Физико-технический институт им. А. Ф. Иоффе РАН, 194021 Санкт-Петербург, Россия

\* Сибирский физико-технический институт, 634050 Томск, Россия

Поступила в редакцию 21 апреля 2003 г.

Обнаружена аномально интенсивная дисперсия в сигналах магнитного резонанса кластеров марганца в кристалле халькопирита с высокой концентрацией марганца  $\text{ZnGeP}_2:\text{Mn}$ . Наблюдались сигналы ЭПР двух типов изолированных ионов марганца, один из которых, вероятно, обладает акцепторными свойствами, что делает марганец самодостаточной примесью для образования ферромагнитного состояния в соответствии с последними теоретическими предсказаниями.

PACS: 76.30.-v, 76.50.+g, 75.30.-m, 75.50.Pp

Заряд и спин электронов составляют основу современной информационной технологии, однако зарядовые и спиновые свойства используются в различных материалах типа полупроводниковых (Si, GaAs) и ферромагнитных, соответственно. Естественно предположить, что наиболее перспективно использовать свойства заряда и спина электронов в одном и том же материале, при этом, подобно тому, как электронные свойства (проводимость) контролируются легированием донорных или акцепторных примесей, магнитные свойства могут изменяться введением магнитных примесей, другими словами, решение проблемы заключается в создании нового класса материалов – магнитных полупроводников. Первоначально казалось, что наиболее подходящими полупроводниками являются соединения типа II–VI, которые могут быть легко легированы магнитными ионами, например марганца в больших концентрациях, поскольку марганец легко замещает катион, например, цинк. Однако в таких материалах трудно контролировать *n* и *p*-типы проводимости. В то же время, соединения типа III–V трудно легировать ионами Mn в достаточных концентрациях из-за низкой растворимости этих элементов. Разработка методов легирования таких соединений с помощью молекуллярной лучевой эпитаксии (МЛЭ) является одним из путей решения проблемы [1], однако перспективным является также использование тройных соединений типа халькопиритов (например,  $\text{ZnGeP}_2$ ), которые, с одной стороны, являются аналогами соединений

III–V, с другой стороны, марганец естественным образом может замещать цинк. В этом случае большие концентрации марганца могут быть получены в равновесных условиях в отличие от пересыщенных растворов соединений III–V (Mn), полученных методом МЛЭ. Следует добавить, что использование тройных соединений (например, иттрий-алюминиевых гранатов) вместо двойных (сапфир) позволило в свое время решить проблему введения больших концентраций примесей редкоземельных элементов в кристаллы для создания лазеров на их основе.

Электронный парамагнитный резонанс (ЭПР) является одним из наиболее прямых методов исследования магнитных примесных ионов в кристаллах. Имеется ряд работ, в которых марганец исследовался методом ЭПР в кристаллах III–V [2–4] и ряде халькопиритов [5, 6]. Во всех материалах, за исключением GaAs, наблюдались спектры ЭПР только ионов  $\text{Mn}^{2+}$ . В кристалле GaAs наряду со спектрами  $\text{Mn}^{2+}$  были обнаружены сигналы комплексов  $\text{Mn}^{2+}$ -дырка, причем дырка находилась на делокализованной орбите с центром на ионе  $\text{Mn}^{2+}$  [2, 3], то есть  $\text{Mn}^{2+}$  является отрицательно заряженным акцептором  $A^- (3d^5)$ .

В последнее время появился ряд работ, в которых сообщалось о наблюдении магнитного упорядочения (ферромагнетизма) при комнатной температуре в пленках халькопиритов, легированных марганцем в больших концентрациях [7–9], в частности, в пленках  $(\text{Zn}, \text{Mn})\text{GeP}_2$ , выращенных на монокристаллических подложках  $\text{ZnGeP}_2$  [8, 9]. Недавно ферромагнетизм при комнатной температуре был обнаружен в объемных материалах  $(\text{Zn}, \text{Mn})\text{GeP}_2$  [10]. В ра-

<sup>1)</sup>e-mail: stanislav.goloshchapov@mail.ioffe.ru

боте [11] представлены исследования магнитного резонанса в системе  $(\text{Zn},\text{Mn})\text{GeP}_2/\text{ZnGeP}_2$ . Сигналы ЭПР изолированных ионов  $\text{Mn}^{2+}$ , замещающих цинк, были зарегистрированы в подложке  $\text{ZnGeP}_2$ , причем марганец продиффундировал в подложку, содержащую по данным ЭПР [11] высокую концентрацию вакансий цинка в процессе изготовления магнитной пленки. Было высказано также предположение, что в подложке имеется не один тип центров марганца. Наличие двух типов марганца в  $(\text{Zn},\text{Mn})\text{GeP}_2$  является принципиальной проблемой, поскольку, согласно новой теории [12], марганец может замещать германий и создавать дырки, которые и приводят к ферромагнетизму этих соединений. Таким образом, поиск сигналов ЭПР марганца, замещающего германий, является одной из актуальных задач. Цель настоящей работы заключается в проведении исследований объемных кристаллов  $\text{ZnGeP}_2:\text{Mn}$ , содержащих высокие концентрации ( $\sim 2\%$ ) марганца, методами магнитного резонанса.

Эксперименты проводились на серийном спектрометре ЭПР Jeol на частоте 9.3 GHz (Х-диапазон) с использованием проточного гелиевого криостата, изготовленного в лаборатории и позволяющего изменять температуру в области 4–300 K. Все спектры ЭПР, представленные на рисунках, зарегистрированы без накопления в результате одного сканирования.

Несколько типов сигналов магнитного резонанса были обнаружены в кристаллах  $\text{ZnGeP}_2:\text{Mn}$  ( $\sim 2\%$ ). Часть сигналов представляла собой спектры ЭПР поглощения изолированных ионов марганца, характеризующиеся обычной сверхтонкой (СТ) структурой в виде шестерки линий из-за СТ взаимодействия неспаренных электронов с ядерным магнитным моментом марганца  $I = 5/2$ ; эти сигналы наблюдались без существенных изменений во всем диапазоне температур, при которых проводились исследования (4–300 K). Был зарегистрирован также сигнал в виде широкой ( $\sim 30$  мTл) неразрешенной линии, который существенно отличался от обычного сигнала ЭПР, поскольку характеризовался аномально интенсивной дисперсией.

На рис.1 приведены спектры ЭПР структуры  $(\text{Zn},\text{Mn})\text{GeP}_2/\text{ZnGeP}_2$  (1a, 1b) и кристалла  $\text{ZnGeP}_2:\text{Mn}$ , содержащего  $\sim 2\%$  Mn (2). Спектры ЭПР 1a и 1b зарегистрированы при температуре 4.2 K в подложке  $\text{ZnGeP}_2$  структуры (из-за малой толщины пленки  $(\text{Zn},\text{Mn})\text{GeP}_2$  сигналы ЭПР в ней не могли наблюдаться) в ориентациях, близких к  $\mathbf{B} \parallel c$  (пять пачек линий тонкой структуры, соответствующие переходам  $M_S = 1/2 \leftrightarrow M_S = -1/2$ ;  $M_S = \pm 3/2 \leftrightarrow M_S = \pm 1/2$ ;

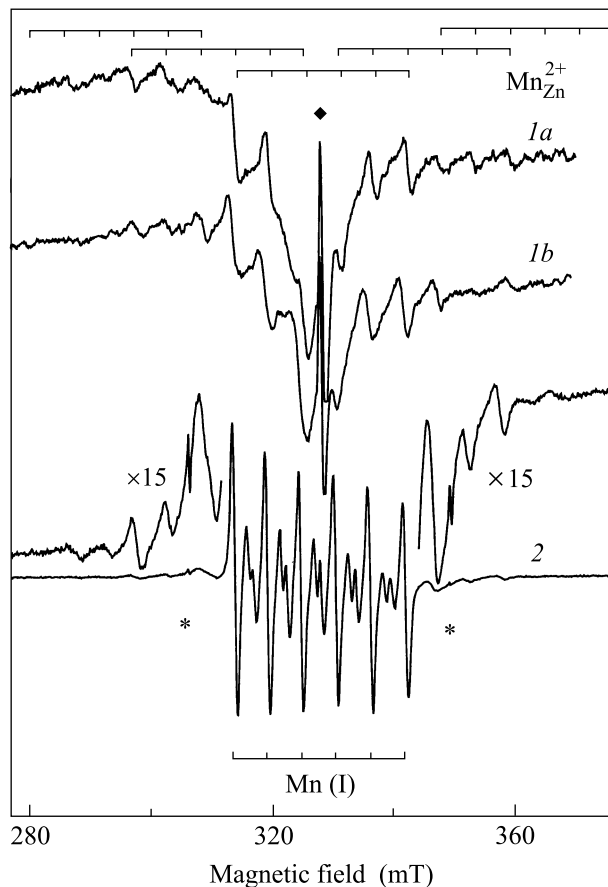


Рис.1. Спектры ЭПР структуры  $(\text{Zn},\text{Mn})\text{GeP}_2/\text{ZnGeP}_2$  (1a, 1b) и кристалла  $\text{ZnGeP}_2:\text{Mn}$ , содержащего  $\sim 2\%$  Mn (2). Спектры ЭПР 1a и 1b зарегистрированы в подложке  $\text{ZnGeP}_2$  структуры, при температуре 4.2 K в ориентациях, близких к  $\mathbf{B} \parallel c$  и  $\mathbf{B} \perp c$ , соответственно, пять пачек линий тонкой структуры показаны только для ориентации  $\mathbf{B} \parallel c$ ; спектр 2 зарегистрирован в кристалле  $\text{ZnGeP}_2:\text{Mn}$  (2%) при ориентации магнитного поля, соответствующей максимальному расщеплению тонкой структуры, приписанной спектру Mn(II) и температуре 30 K. Отдельно показаны низкополевая и высокополевая части сигнала 2 с усилением  $\times 15$ . Шестерка линий СТ структуры с запрещенными переходами между ними приписана центрам Mn(I). Узкая линия на кривых 1a и 1b с  $g = 2.00237$ , обозначенная ромбом, принадлежит кварцу, а узкие линии, обозначенные на спектре 2 звездочками, принадлежат крайним линиям в спектре ЭПР ионов  $\text{Mn}^{2+}$  в  $\text{MgO}$ , который использовался нами в качестве рефера

$M_S = \pm 5/2 \leftrightarrow M_S = \pm 3/2$  показаны только для ориентации  $\mathbf{B} \parallel c$ , см. [11]) и  $\mathbf{B} \perp c$ , соответственно. Спектр 2 зарегистрирован в кристалле  $\text{ZnGeP}_2:\text{Mn}$  ( $\sim 2\%$ ) при температуре 30 K. Сигналы ЭПР 1a и 1b принадлежат изолированным ионам  $\text{Mn}^{2+}$ , замещающим ионы цинка ( $\text{Mn}_{\text{Zn}}^{2+}$ ), а широкая неразрешенная

линия в виде поглощения принадлежит насыщенным сигналам ЭПР изолированных вакансий цинка (для насыщения этой линии, перекрывающейся с сигналами  $Mn^{2+}$ , и были использованы низкие температуры 4.2 К, сигнал ЭПР вакансий цинка использовался для выставления ориентации кристалла).

В спектре рис.1 2 наблюдаются шесть практически эквидистантных узких линий примерно одинаковой интенсивности, между ними видны дополнительные пять пар линий. Этот сигнал ЭПР (обозначим его как Mn(I)) является типичным для центрального перехода  $M_S = 1/2 \leftrightarrow M_S = -1/2$  для ионов  $Mn^{2+}$  ( $S = 5/2$ ), где линиям, расположенным между шестеркой основных переходов, соответствуют запрещенные переходы  $\Delta M_S = 1$ ,  $\Delta m_I = \pm 1$ . В спектре 2 видны дополнительные линии меньшей интенсивности (показанные также с усилением  $\times 15$ ), расположенные симметрично относительно центральной линии и представляющие собой тонкую структуру изолированных центров марганца (спектр 2 был зарегистрирован в ориентации с максимальным расщеплением этой тонкой структуры). Линии тонкой структуры, по-видимому, не принадлежат Mn(I) центрам из-за большой разницы в интенсивностях, поэтому обозначим их как Mn(II). Узкая линия с  $g = 2.00237$ , обозначенная ромбом, принадлежит кварцу, а узкие линии, обозначенные звездочками, принадлежат крайним линиям в спектре ЭПР ионов  $Mn^{2+}$  в  $MgO$ . Эти линии использовались в качестве реперных сигналов.

На рис.2 показаны ориентационные зависимости сигналов ЭПР в кристалле  $ZnGeP_2:Mn$  ( $\sim 2\%$ ), зарегистрированные при 4.2 К. Видна тонкая структура (показана внизу для угла  $0^\circ$  в виде четырех секстетов), отличительной особенностью которой является сильное уширение и, как следствие, резкое уменьшение интенсивности этих линий при отклонении от ориентации с максимальным расщеплением. Такое поведение может наблюдаться при наличии некоторого дефекта в ближайшем окружении марганца (например, дырочного центра), вызывающего понижение симметрии и напряжения вблизи иона Mn (отклонение от аксиальной симметрии), причем имеется несколько положений дефекта относительно иона марганца. Тонкая структура характеризуется в стандартных обозначениях [13] параметрами спинового гамильтониана  $D$  (аксиальная симметрия) и  $E$  (отклонение от аксиальной симметрии). Резкое уширение линий при изменении угла доказывает, что угол  $0^\circ$  примерно соответствует направлению магнитного поля вдоль оси симметрии центра марганца. Только для такой ориентации параметр  $E$  не вносит вклада в положение линии ЭПР, этот вклад увеличивается

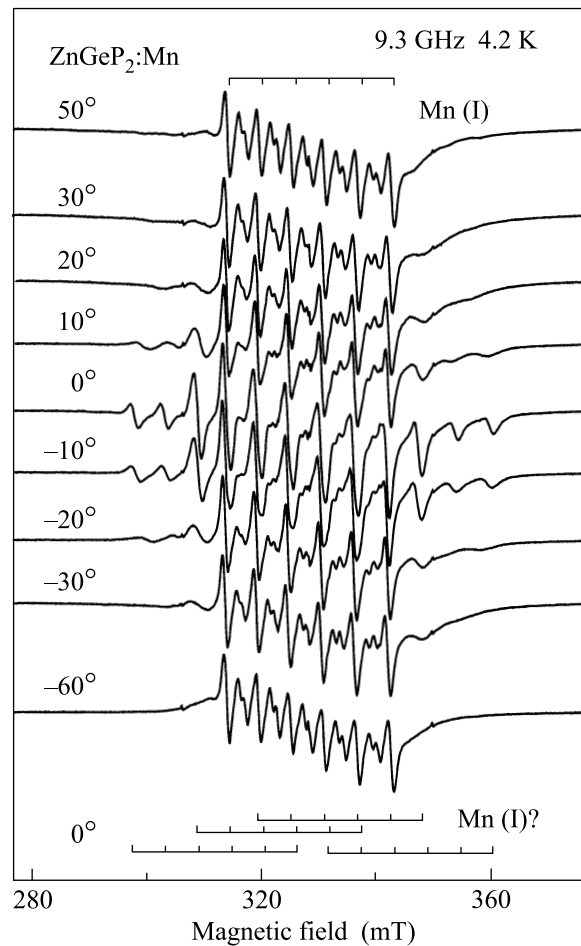


Рис.2. Ориентационные зависимости сигналов ЭПР, наблюдавшихся в кристалле  $ZnGeP_2:Mn$  ( $\sim 2\%$ ), зарегистрированные при 4.2 К.  $0^\circ$  соответствует ориентации, при которой расщепление тонкой структуры является максимальным и ширина линий минимальна. Шестерка линий вверху обозначена как Mn(I), и ее положение незначительно изменяется с ориентацией. Четыре группы по шесть линий внизу соответствуют положению линий тонкой структуры для угла  $0^\circ$ . Соответствие их центру Mn(I) или центру с  $S = 2$  обсуждается в тексте

с увеличением угла и достигает максимума при угле  $90^\circ$ , причем наибольший эффект наблюдается для внешних пачек тонкой структуры, поэтому сигнал практически не виден при значениях угла, превышающих  $\sim 40^\circ$ , и внешние линии уширяются быстрее. Также определенный вклад в уширение линий тонкой структуры могут внести обменные взаимодействия между ионами марганца. В дополнение были зарегистрированы сравнительно интенсивные сигналы ЭПР в виде шестерки линий СТ структуры марганца в области полей 150–160 мТл ( $g \sim 4$ ), которые, вероятно, соответствуют запрещенным переходам

дам для центров Mn(I) с правилами отбора  $\Delta M_S = 2$ ,  $\Delta m_I = 0, \pm 1$ . Для этих запрещенных сигналов ЭПР наблюдались существенные ориентационные зависимости их интенсивности, а также для некоторых ориентаций наблюдалось расщепление сигналов ЭПР на большее число линий. Спектры ЭПР, представленные на рис.2, существенно отличаются от обычных сигналов  $Mn_{Zn}^{2+}$ , поэтому мы считаем, что они принадлежат изолированным ионам марганца, находящимся в другой позиции кристаллической решетки. Можно высказать два предположения относительно наблюдаемой тонкой структуры на рис.2. Первое предположение заключается в том, что эта структура связана с центральной шестеркой линий (Mn(I), показана вверху на рис.2)) и принадлежит центру с  $S = 5/2$ , то есть иону  $Mn^{2+}$ , поскольку появление этой тонкой структуры коррелирует с исчезновением линий запрещенных переходов, а также все линии сравнимы по интенсивности. Константа СТ структуры центров марганца Mn(I) сравнима с соответствующей константой для  $Mn_{Zn}^{2+}$  ( $\sim 5.6$  мТл), что может свидетельствовать о сильной ковалентности [14], таким образом, междуузельная позиция марганца может быть исключена из рассмотрения и весьма вероятно, что марганец занимает позицию германия в решетке. Согласно второму предположению, линии тонкой структуры, наблюдавшиеся на рис.2, можно рассматривать отдельно от центральной шестерки линий, предположив, что тонкая структура для Mn(I) полностью усреднена, например, из-за сильных обменных взаимодействий. Тогда тонкая структура на рис.2 в виде взаимно перекрывающихся четырех групп линий по шесть в каждой группе может принадлежать центрам  $Mn^{3+}$  со спином  $S = 2$ , что, тем более, подтверждает германиевую позицию марганца.

Зарядовое и спиновое состояния центров Mn(II) пока не удалось однозначно установить из-за сильного перекрытия их сигналов ЭПР с более интенсивными линиями центров Mn(I). Важно подчеркнуть, что тонкая структура, представленная на рис.1 (2) и рис.2, наблюдается для разных ориентаций магнитного поля, то есть оси симметрии этих центров не совпадают. Наряду с естественным предположением, что эти сигналы принадлежат центрам  $Mn^{2+}$ , нельзя исключить наличие состояния с целым спином  $S$ , что исключает зарядовое состояние  $Mn^{2+}$  и соответствует состояниям  $Mn^{3+}$  или  $Mn^+$ , однако необходимы дополнительные исследования в прецизионно ориентированных кристаллах. Основной задачей настоящего сообщения было показать, что в кристалле имеется несколько различных спектров ЭПР изолированных ионов марганца. Нельзя исключить нали-

чия двойников в кристалле, что усложняет расшифровку спектров ЭПР, однако мы исследовали кристаллы разных размеров (отличающихся примерно на порядок) и при этом существенного различия в спектрах ЭПР не наблюдалось.

На рис.3 представлен спектр магнитного резонанса, зарегистрированный в кристалле  $ZnGeP_2:Mn$  ( $\sim 2\%$ ) при температуре 25 К по поглощению (1) и дисперсии (по изменению частоты СВЧ в момент резонанса) (2). Видна широкая неразрешенная ли-

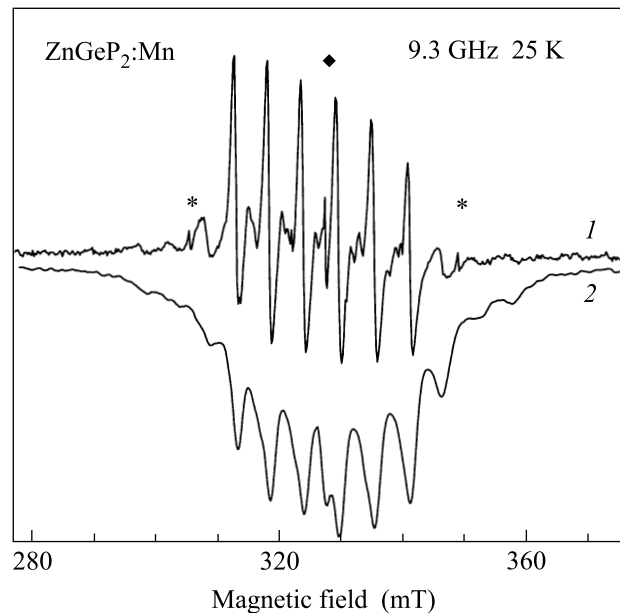


Рис.3. Спектры ЭПР кристалла  $ZnGeP_2:Mn$ , содержащего  $\sim 2\%$  Mn, зарегистрированные при 25 К по поглощению (1) и дисперсии (2). Ориентация кристалла примерно соответствует углу  $10^\circ$  на рис.2. Значение узких линий, обозначенных ромбом и звездочками, тоже, что и на рис.1

ния, на которую накладываются сигналы изолированных ионов марганца, ранее показанные на рис.1 (2) и рис.2. При обычной регистрации по поглощению СВЧ мощности (1) эти сигналы наблюдаются в виде производной, однако интенсивность широкой линии была значительно меньше сигналов ЭПР изолированных ионов марганца. Таким образом, сигналы с широкими линиями отличаются аномально большой дисперсией и, по-видимому, принадлежат кластерам из ионов марганца, находящихся в позициях цинка, причем не исключено, что ионы марганца магнитно упорядочены. Зависимость интенсивности этого сигнала от температуры качественно соответствует зависимости намагниченности от температуры, наблюдавшейся в работе [10], где для близкой концентрации марганца ( $\sim 2\%$ ) наблюдалось сравнительно быстрое

уменьшение намагниченности в области температур 4–50 К и последующее плавное уменьшение намагниченности вплоть до 300 К.

Таким образом, в ZnGeP<sub>2</sub>:Mn ( $\sim 2\%$ ), весьма вероятно, имеется по крайней мере два типа ионов марганца с разными зарядовыми состояниями по отношению к решетке: (i) Mn<sub>Zn</sub><sup>2+</sup>, которое можно представить как нейтральное A<sup>0</sup>(3d<sup>5</sup>) и, вероятно, (ii) Mn<sub>Ge</sub><sup>2+</sup> (или Mn<sub>Ge</sub><sup>3+</sup>), которое имеет состояние в решетке A<sup>2-</sup>(3d<sup>5</sup>) (или A<sup>-</sup>(3d<sup>4</sup>)) и является двойным акцептором, подобно тому, как состояние Mn<sup>2+</sup> в GaAs является отрицательно заряженным акцептором A<sup>-</sup>(3d<sup>5</sup>) [2, 3]. Можно предположить, что аномальные ориентационные зависимости в спектрах ЭПР, связанных с Mn<sub>Ge</sub>, обусловлены наличием дефекта, возможно, дырки, делокализованной вблизи Mn, подобно тому, как это имеет место в кристалле GaAs:Mn [2, 3]. Широкая линия с аномальной дисперсией, весьма вероятно, принадлежит ионам Mn<sub>Zn</sub><sup>2+</sup>, связанным между собой сильными обменными взаимодействиями ввиду высокой концентрации этих ионов. При этом СТ структура не разрешается из-за этих взаимодействий. Нельзя полностью исключить наличия включений типа MnP, которые могут быть ответственны за широкую линию, аналогично включениям MnAs в соединениях GaMnAs [15], однако исследования фотоэмиссии электронов из пленочных образцов (Zn,Mn)GeP<sub>2</sub> показали отсутствие химических состояний, характерных для соединения MnP.

Результаты настоящей работы подтверждают теоретическое предсказание [12] о наличии в материале стабильных дефектов, индуцирующих дырки, которые могут образовывать комплексы с ионами марганца, замещающими цинк. Следовательно, можно предположить, что марганец является самодостаточной примесью для создания ферромагнитного состояния в соответствии с теорией [12]. В то же время, заключение авторов работы [10] о том, что в халькопиритах, в отличие от системы GaMnAs, ферромагнетизм может не иметь дырочной природой, в свете представленных результатов не может считаться достаточно обоснованным.

Работа была частично поддержана Российским фондом фундаментальных исследований (грант № 03-02-17645), Санкт-Петербургским комитетом по науке и высшей школе (тема № 8В145) и программой “Физика твердотельных наноструктур”.

1. H. Ohno, *Science* **281**, 951 (1998) and references therein.
2. V. F. Masterov, S. B. Mikhlin, B. E. Samorukov, and K. F. Shtelmakh, *Fiz. Tekh. Poluprovodn.* **17**, 1259 (1983) [*Sov. Phys. Semicond.* **17**, 796 (1983)].
3. J. Schneider, U. Kaufmann, W. Wilkening et al., *Phys. Rev. Lett.* **59**, 240 (1987).
4. P. G. Baranov, I. V. Iljin, and E. N. Mokhov, *Solid State Commun.* **101**, 611 (1997).
5. U. Kaufmann, A. Raeuber, and J. Schneider, *Phys. Stat. Sol. (b)* **74**, 169 (1976).
6. N. P. Baran, I. I. Tychina, I. G. Tregub et al., *Sov. Semicond. Phys. [Fiz. Tekh. Poluprovodn.]* **9**, 2366 (1975).
7. G. A. Medvedkin, T. Ishibashi, T. Nishi et al., *Jpn. J. Appl. Phys.* **39**, L949 (2000).
8. G. A. Medvedkin, K. Hirose, T. Ishibashi et al., *J. Cryst. Growth* **236**, 609 (2002).
9. K. Sato, G. A. Medvedkin, and T. Ishibashi, *J. Cryst. Growth* **237-239**, 1363 (2002).
10. Sunglae Cho, Sungyoul Choi, Gi-Beom Cha et al., *Phys. Rev. Lett.* **88**, 257203 (2002).
11. P. G. Baranov, S. I. Goloshchapov, G. A. Medvedkin et al., *J. of Superconductivity: Incorporating Novel Magnetism* **16**, 131 (2003).
12. Priya Mahadevan and Alex Zunger, *Phys. Rev. Lett.* **88**, 047205 (2002).
13. A. Abragam and B. Bleaney, *Electron Paramagnetic Resonance of Transition Ions*, Clarendon, Oxford 1970.
14. S. J. C. H. M. van Gisbergen, M. Godlewski, T. Gregorkiewicz, and C. A. J. Ammerlaan, *Phys. Rev. B* **44**, 3012 (1991); J. C. M. Henning, *Phys. Lett. B* **24A**, 40 (1967).
15. K. M. Yu, W. Walukiewicz, T. Wojtowicz et al., *Phys. Rev. B* **65**, 201303 (2002).